

Formelsammlung EN

J/T/A

I. GRUNDLAGEN

A. Drehstrom (DS), 3-Phasen-System

1) Spannungen in DS (symmetrisch)

Leiter-Erde-Spannung $U_{LE} = 230V$

$$\underline{U}_{L1} = U_{LE} \angle 0^\circ$$

$$\underline{U}_{L2} = U_{LE} \angle -120^\circ = U_{LE} \angle 240^\circ$$

$$\underline{U}_{L3} = U_{LE} \angle -240^\circ = U_{LE} \angle 120^\circ$$

Leiter-Leiter-Spannung $U_{LL} = 400V$

$$U_{LL} = U_{LE} \cdot \sqrt{3}$$

$$\underline{U}_{12} = \underline{U}_{L1} - \underline{U}_{L2} = U_{LL} \angle 30^\circ$$

$$\underline{U}_{23} = \underline{U}_{L2} - \underline{U}_{L3} = U_{LL} \angle 270^\circ$$

$$\underline{U}_{31} = \underline{U}_{L3} - \underline{U}_{L1} = U_{LL} \angle 150^\circ$$

2) Ströme in DS (symmetrisch)

$$\underline{I}_{Lx} = \frac{\underline{U}_{Lx}}{\underline{Z}}$$

Lx : Stranggrößen L1, L2, L3

3) Effektivgrößen, Symmetrische Last

Stranggröße	Stern	Dreieck
Spannung U_{LE}	$U_{LE} = \frac{U_{LL}}{\sqrt{3}}$	$U_{LE} = U_{LL}$
Strom I_{str}	$I_{str} = I_r$	$I_{str} = \frac{I_r}{\sqrt{3}}$

I_r : Zuleitungs-, Betriebs-, Bemessungsstrom

4) Leistungen in DS

Scheinleistung S [VA]:

$$S = 3 \cdot U_{LE} \cdot I_L = \sqrt{3} \cdot U_{LL} \cdot I_L$$
$$= \sqrt{P^2 + Q^2}$$

$$\underline{S} = 3 \cdot \underline{U}_{LE} \cdot \underline{I}_L^* = P + jQ$$

in Sternschaltung:

$$\underline{S}_{ds} = \frac{U_{LL}^2}{\underline{Z}_{LN}^*}$$

$$\underline{S}_{ws} = \frac{U_{LL}^2}{3 \cdot \underline{Z}_{LN}^*}$$

Wirkleistung P [W]:

$$P = S \cdot \cos \varphi$$

$$= 3 \cdot U_{LE} \cdot I_L \cdot \cos \varphi$$

$$= \sqrt{3} \cdot U_{LL} \cdot I_L \cdot \cos \varphi$$

Blindleistung Q [var]:

$$|Q| = S \cdot \sin \varphi = P \cdot \tan \varphi$$

$$= 3 \cdot U_{LE} \cdot I_L \cdot \sin \varphi$$

$$= \sqrt{3} \cdot U_{LL} \cdot I_L \cdot \sin \varphi$$

$$Q \begin{cases} \text{induktiv} > 0 \\ \text{kapazitiv} < 0 \end{cases}$$

B. Energiebedarf, Deckung

1) Tagesbelastungskurve

$$W = \int_0^{T_n} P(t) dt$$
$$= P_n \cdot T_a = P_{max} \cdot T_m = P_{mittel} \cdot T_n$$

P_n	Nennleistung
T_a	Ausnutzungsdauer
P_{max}	Höchstlast
T_m	Benutzungsdauer
P_{mittel}	mittlere Leistung
T_n	Nennbetriebsdauer (meist. 24h)

2) Frequenz-Wirkleistungs-Regelung

a) stationärer Zustand (Gleichgewicht)

$$W_{rot} = \frac{1}{2} \cdot J \cdot \omega_{mech}^2 \quad \omega_{el} = p \cdot \omega_{mech}$$

$$W_{mech-zu} = W_{el-ab} \quad P_{mech-zu} = P_{el-ab}$$

p : Polpaarzahl J : Massenträgheitsmoment

b) Störung

$$W_{m-zu} \neq W_{el-ab} \quad P_{m-zu} \neq P_{el-ab}$$

$$\Delta W_{rot} = \frac{1}{2} \cdot J \cdot (\omega_{stat} - \omega_{akt})$$

II. TRAF0

OS	Oberspannungsseite (Primär)
US	Unterspannungsseite (Sekundär)

A. Grundgleichungen, idealer Trafo

Windungsspannung

$$\frac{U_1}{N_1} = \frac{U_2}{N_2} = U_W = 4,44 \cdot f \cdot \hat{B} \cdot A_{Fe}$$

Induktionsspannung, Effektivwert

$$U_{ieff} = \frac{1}{\sqrt{2}} \cdot 2\pi f \cdot N \cdot A_{Fe} \cdot \hat{B}$$

$$= 4,44 \cdot N \cdot f \cdot \hat{B} \cdot A_{Fe}$$

Spannungstrafo

$$\frac{U_1}{U_2} = \frac{N_1}{N_2} = \ddot{u}$$

$$\underline{U}'_2 = \ddot{u} \cdot \underline{U}_2$$

Stromtrafo

$$\frac{I_1}{I_2} = \frac{N_1}{N_2} = \frac{1}{\ddot{u}}$$

$$\underline{I}'_2 = I_2 \cdot \frac{1}{\ddot{u}}$$

Impedanztrafo

$$Z_1 = \ddot{u}^2 \cdot Z_2$$

$$R'_2 = \ddot{u}^2 \cdot R_2$$

$$L'_{2\sigma} = \ddot{u}^2 \cdot L_{2\sigma}$$

Durchgangsleistung

$$S_1 = S_2 = S_D$$

B. ESB

$$R_T + jX_T = (R_1 + R'_2) + j(X_{1\sigma} + X'_{2\sigma})$$

$$Z_T = R_T + jX_T$$

$$U_1 = (R_T + jX_T) \cdot I_1 + U'_2$$

1) Kurzschlussmessung (KS):

KS auf US. $\rightarrow \underline{U}_{K1}$ auf OS

KS auf OS. $\rightarrow \underline{U}_{K2}$ auf US

Bemessungsspannung ($r = \text{rated}$)

$$U_{rT} = U_{LL} = U_{LE} \cdot \sqrt{3}$$

relative KS-Spannung [%]

$$\underline{u}_K = u_{K,Re} + j u_{K,Im}$$

$$u_K = \sqrt{u_{K,Re}^2 + u_{K,Im}^2}$$

$$= \frac{U_K \cdot \sqrt{3}}{U_{rT}} \cdot 100\%$$

$$= \frac{Z_T \cdot I_r}{U_{rT}/\sqrt{3}}$$

$$\underline{u}_{K1} = \frac{\underline{U}_{K1}}{U_{rT1}/\sqrt{3}} = \frac{\underline{U}_{K1}}{U_{LE,T1}}$$

$$\underline{u}_{K2} = \frac{\underline{U}_{K2}}{U_{rT2}/\sqrt{3}} = \frac{\underline{U}_{K1} \cdot \ddot{u}}{U_{rT1} \cdot \ddot{u}/\sqrt{3}}$$

$$u_{K,Re} = \frac{P_K}{S_r} \cdot 100\% = \frac{R_T \cdot I_r}{U_{rT}/\sqrt{3}}$$

KS-Größen

$$I_K = \frac{I_r}{u_K} = \frac{U_{rT}/\sqrt{3}}{Z_T}$$

$$U_K = \frac{u_K}{100\%} \cdot \frac{U_{rT}}{\sqrt{3}}$$

Betriebskonstanten

$$Z_T = u_K \cdot \frac{U_{rT}^2}{S_{rT}}$$

$$R_T = \frac{u_{K,Re}}{100\%} \cdot \frac{U_{rT}^2}{S_{rT}} = \frac{u_{K,Re}}{100\%} \cdot \frac{U_{rT}}{\sqrt{3} \cdot I_r}$$

$$= P_K \cdot \frac{U_{rT}^2}{S_{rT}^2}$$

$$X_T = u_{K,Im} \cdot \frac{U_{rT}^2}{S_{rT}}$$

Verlustleistung, Wirkungsgrad

$$P_{ab} = S_{rT} \cdot \cos \varphi$$

$$P_K = 3 \cdot R_T \cdot I_r^2$$

$$\eta = \frac{P_{ab}}{P_{zu}} = \frac{P_{ab}}{P_{ab} + P_K + P_L}$$

P_{ab} : abgegebene Wirkleistung

P_K : KS-/Kupferverluste

P_L : Leerlaufverluste

C. Parallelbetrieb von 2 Trafos

Scheinleistungsteiler

$$|S_{T1}| = \frac{Z_{T2}}{Z_{T1} + Z_{T2}} \cdot |S_{Tges}|$$

$$|S_{T2}| = \frac{Z_{T1}}{Z_{T1} + Z_{T2}} \cdot |S_{Tges}|$$

$$|S_{Tges}| = |S_{T1}| + |S_{T2}|$$

max. Last, ohne Trafobelastung

$$\left(\frac{S_{rT1/2}}{S_{T1/2}}\right)_{\min} \Rightarrow S_{T,max} = \left(\frac{S_{rT}}{S_T}\right)_{\min} \cdot S_{T,ges}$$

$$S_{T1} = \frac{u_{K,min}}{U_{K,T1}} \cdot S_{rT1}$$

- 1) Schaltgruppe mit gleicher Kennzahl
- 2) Gleiches Übersetzungsverhältnis
- 3) annähernd gleiche Kurzschlussspannung (max. diff. 10%)
- 4) Bemessungsscheinleistung kleiner als 3:1

III. FREILEITUNG**A. Durchhang von Freileitungsseilen**

hängen hyperbolisch durch. (ab 110 kV:)

$$h_{\min} = 6 \text{ m} + \left(\frac{U_{nLL} - 110 \text{ kV}}{150 \text{ kV}}\right) m$$

B. Resistanzbelag**DC-Widerstand**

A_{eff} : Wirksamer Querschnitt [mm^2]

F_{ϑ} : Widerstandserhöhung durch Erwärmung

ϑ_{max} : max. zul. Betriebstemp. des Leiterseils

$$R'_{\underline{=}} = \frac{R_{\underline{=}}}{l} = \frac{\rho_{20^\circ}}{A_{eff}} \cdot \frac{1}{km}$$

$$F_{\vartheta} = 1 + \alpha(\vartheta_{max} - 20^\circ C)$$

Material	$\rho_{20^\circ C}$ in $\frac{m\Omega \cdot mm^2}{m}$	α in K^{-1}
Alu	28,6	0,0038
Kupfer	17,8	0,0039
Silber	16	0,0038
Eisendraht	120	0,0052

weitere Kenngrößen siehe F39

AC-Widerstand

$$J = J \cdot e^{-x/\delta}$$

$$\delta = \sqrt{\frac{\rho}{\pi \cdot \mu_0 \cdot f}} = \sqrt{\frac{1}{\pi \cdot \kappa \cdot \mu_0 \cdot f}}$$

J : Stromdichte (Leiterrand)

x : Abstand vom Leiterrand (Oberfläche)

δ : Eindringtiefe (Skinneffekt)

Betriebs-Resistanzbelag

$$R'_b = R'_{\underline{=}} \cdot F_{\vartheta} \cdot F_S = \frac{R'_{bSeil}}{n_{Seil}}$$

F_S : Widerstandserhöhung durch Skinneffekt

C. Induktivität**Äußere Ind. Einzelleiter mag. Fluss****-||- Doppelleiter****Innere Ind. Einzelleiter verketteter mag. Fluss****-||- Doppelleiter**

$$\Phi_{a1} = \frac{\mu I l}{2\pi} \cdot \ln\left(\frac{D-r}{r}\right)$$

$$L_a = \frac{2\Phi_{a1}}{I} = \frac{\mu l}{2\pi} \cdot \ln\left(\frac{D}{r}\right)$$

$$\Psi_{i1} = \Psi_{i2} = \frac{\mu I l}{8\pi}$$

$$L_i = \frac{2\Psi_{i1}}{I} = \frac{\mu l}{8\pi}$$

gesamt Induktivität

$$\mu = \mu_0, D \gg r$$

$$L_{ges} = L_a + L_i = \frac{\mu l}{2\pi} \left(\ln\left(\frac{D}{r}\right) + \frac{1}{4} \right)$$

$$L' = \frac{L_{ges}}{l} = \frac{\mu}{2\pi} \left(\ln\left(\frac{D}{r}\right) + \frac{1}{4} \right)$$

D. Reaktanzbelag

Gleichungen für $f = 50 \text{ Hz}$

Metallmantel keine Schirmung! Für D nicht $\gg r$!

Radius r -Werte siehe F39

2-Phasig/Wechselstrom

$$L'_b = 4 \cdot 10^{-7} \left[\ln\left(\frac{D_m}{r}\right) + 0,25 \right] \left[\frac{H}{m} \right]$$

$$X'_b = \omega L'_b = \pi \left[4 \ln\left(\frac{D_m}{r}\right) + 1 \right] \cdot 10^{-2} \left[\frac{\Omega}{km} \right]$$

Drehstrom**- Einfach-/Bündelleiter**

$$X'_b = \frac{\pi}{2} \left(4 \ln\left(\frac{D_m}{r_B}\right) + \frac{1}{n} \right) \cdot 10^{-2} \left[\frac{\Omega}{km} \right]$$

$$D_m = \sqrt[3]{D_{12} \cdot D_{23} \cdot D_{31}}$$

$$r_B = \sqrt[n]{n \cdot r \cdot r_T^{n-1}} \quad r_T = \frac{a}{2 \sin \frac{180^\circ}{n}}$$

n : Anzahl Teilleiter (wenn $n > 1 \Rightarrow$ Bündelleiter)

D_m : Abstände bei Symmetrie der Phasen zur Mastmitte

D_{12} : Abstand $L1 - L2$ usw.

r_B : Ersatzradius (wenn $n = 1$, dann $r_B = r$)

r_T : Radius Teilleiter (bei $n > 1$)

a : Abstand Teilleiter (bei $n > 1$)

- Doppelleitung

$$X'_b = \frac{\pi}{2} \left(4 \ln \left(\frac{D_m \cdot D_{L1/LII}}{r \cdot D_{L1/LI}} \right) + \frac{1}{n} \right) \cdot 10^{-2} \left[\frac{\Omega}{km} \right]$$

$$D_{L1/LII} = \sqrt[3]{D_{1,II} \cdot D_{2,III} \cdot D_{3,I}}$$

$$D_{L1/LI} = \sqrt[3]{D_{1,I} \cdot D_{2,II} \cdot D_{3,III}}$$

Bei Asymmetrie (Phase zur Mastmitte)

$$D_{L1/LII} = \sqrt[6]{D_{1,II} \cdot D_{2,III} \cdot D_{3,I} \cdot D_{1,III} \cdot D_{2,I} \cdot D_{3,II}}$$

E. Kapazität

$$C'_{12} = \frac{\pi \cdot \varepsilon_0}{\ln \left(\frac{D}{r} \right)} \quad C'_{1E} = \frac{2 \cdot \pi \cdot \varepsilon_0}{\ln \left(\frac{2h}{r} \right)}$$

C'_{12} : Kapazität zw. L1 - L2

C'_{1E} : Kapazität zw. L1 - Erde

h : Höhe zw. L1 - Erde

F. Suszeptanzbelag (Blindleitwert)

2-Phasig/Wechselstrom

$$C'_b = C'_{1E}$$

$$B'_b = \omega \cdot C'_b = \frac{17,47}{\ln \left(\frac{D}{r} \right)} \left[\frac{\mu S}{km} \right]$$

B'_b : gilt für $f = 50$ Hz

Drehstrom

- Einfach-/Bündelleitung

$$C'_b = \frac{2 \cdot \pi \cdot \varepsilon_0}{\ln \left(\frac{D_m}{r} \right)}$$

$$B'_b = \omega \cdot C'_b = \frac{17,47}{\ln \left(\frac{D_m}{r} \right)} \left[\frac{\mu S}{km} \right]$$

$$D_m = \sqrt[3]{D_{12} \cdot D_{23} \cdot D_{31}}$$

$$r_B = \sqrt[n]{n \cdot r \cdot r_T^{n-1}} \quad r_T = \frac{a}{2 \sin \frac{180^\circ}{n}}$$

Bei Bündelleitung $n > 1 \Rightarrow r = r_B$

- Doppelleitung

$$B'_b = \omega \cdot C'_b = \frac{17,47}{\ln \left(\frac{D_m \cdot D_{L1/LII}}{r_B \cdot D_{L1/LI}} \right)} \left[\frac{\mu S}{km} \right]$$

$$D_{L1/LII} = \sqrt[3]{D_{1,II} \cdot D_{2,III} \cdot D_{3,I}}$$

$$D_{L1/LI} = \sqrt[3]{D_{1,I} \cdot D_{2,II} \cdot D_{3,III}}$$

G. Konduktanzbelag (Wirkleitwert)

$$G'_b = \frac{P_{VI}}{U_{LL}^2}$$

P_{VI} : Korona-/Isolationsverluste $\left[\frac{W}{m} \right]$
 U_{LL} : Nennspannung, Leiter-Leiter

IV. KABEL

A. Resistanzbelag

$$F_\vartheta = 1 + \alpha \cdot (\vartheta_{max} - 20^\circ C)$$

$$R'_b = R'_\infty \cdot F_\vartheta \cdot F_S \cdot F_P$$

F_S : Skineffekt (F35)

F_P : Proximity-Effekt (F37)

B. Reaktanzbelag

Metallmantel keine Schirmung! Für D nicht $\gg r$!

r : Radius des (Innen-)Leiters, nicht vom Mantel!

Wechselstromkabel

$$X'_b = \pi \left(4 \ln \left(\frac{D}{r} - 1 \right) + 1 \right) \cdot 10^{-2} \left[\frac{\Omega}{km} \right]$$

Einfach-Drehstromkabel

$$X'_b = \pi \left(2 \ln \left(\frac{D_m}{r} - 1 \right) + \frac{1}{2} \right) \cdot 10^{-2} \left[\frac{\Omega}{km} \right]$$

Doppel-Drehstromkabel

$$X'_b = \pi \left(2 \ln \left(\frac{D_m \cdot D_{L1LII}}{r \cdot D_{L1LI}} - 1 \right) + \frac{1}{2} \right) \cdot 10^{-2} \left[\frac{\Omega}{km} \right]$$

C. Suzeptanzbelag

Metallmantel/-folie schirmt E-Feld ab!

B'_b gilt für $f = 50$ Hz

d : Schirmdurchmesser eines Leiters

D : Abstand zw. 2 Innenleiter

Bilder unbedingt einfügen !!

Einleiter-/Dreimantel-/Radialfeldkabel

$$C'_b = C'_{LE} = \frac{2\pi \cdot \varepsilon_0 \cdot \varepsilon_r}{\ln \left(\frac{R}{r} \right)}$$

$$B'_b = \omega C'_b = \frac{17,47 \cdot \varepsilon_r \cdot \mu S}{\ln \left(\frac{R}{r} \right) \cdot km}$$

Wechselstromkabel - 2 Innenleiter

$$C'_b = 2 \cdot C_{LE} + C_{LL} = \frac{\pi \cdot \varepsilon_0 \cdot \varepsilon_r}{\ln \left(\left(\frac{D}{r} \right) \cdot \frac{(d^2 - D^2)}{(d^2 + D^2)} \right)}$$

$$B'_b = \frac{8,735 \cdot \varepsilon_r \cdot \mu S}{\ln \left(\left(\frac{D}{r} \right) \cdot \frac{(d^2 - D^2)}{(d^2 + D^2)} \right) \cdot km}$$

Einfach-Drehstromkabel - 3 Innenleiter

$$C'_b = C_{LE} + 3 \cdot C_{LL} = \frac{4\pi \cdot \varepsilon_0 \cdot \varepsilon_r}{\ln \left(\left(\frac{D}{r} \right)^2 \cdot \frac{(0,75d^2 - D^2)^3}{(0,75d^2)^3 - (D^2)^3} \right)}$$

$$B'_b = \frac{34,94 \cdot \varepsilon_r}{\ln \left(\left(\frac{D}{r} \right)^2 \cdot \frac{(0,75d^2 - D^2)^3}{(0,75d^2)^3 - (D^2)^3} \right)} \frac{\mu S}{km}$$

keine Kopplung zum Nachbarsystem $B'_{EDL} = B'_{DDL}$

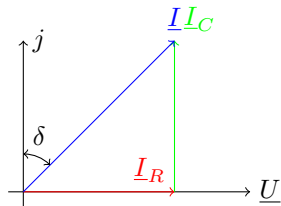
D. Konduktanzbelag

Ursache: Restleitfähigkeit der Isolierwerkstoffe
bzw. Polarisationsverluste

Verlustfaktor

$$\tan \delta = \frac{I_R}{I_C} = \frac{1}{\omega C R} = \frac{G}{B}$$

$$G'_b = B'_b \cdot \tan \delta = \omega C'_b \cdot \tan \delta$$



Dielektrische Verluste

$$P_{Diel} = (\tan \delta \cdot \varepsilon_r) \cdot \omega \cdot C_{Vakuum} \cdot U^2$$

$$P_{Diel} = G'_b \cdot U_{LE}^2$$

Werkstoff abhängige Verlustziffer

E. Leistung

geg: I_{max}, l, X'_b, G'_b

ges: P_{max}

$$X_b = X'_b \cdot l \quad G_b = G'_b \cdot l$$

$$Q = 3 \cdot I_{max}^2 \cdot X_b - 3 \cdot U_{LE}^2 \cdot B_b$$

$$P_{max} = \sqrt{S^2 - Q^2}$$

V. BETRIEB VON LEITUNGEN

A. Kenngrößen

Leitung mit Verlusten

$$\underline{\gamma} = \sqrt{(R'_b + jX'_b) \cdot (G'_b + jB'_b)} = \alpha \cdot j\beta$$

$$\underline{Z}_w = \sqrt{\frac{R'_b + jX'_b}{G'_b + jB'_b}} = |Z_w| \cdot e^{j\delta}$$

α : Dämpfungskonstante

β : Phasenkonstante $\left[\frac{rad}{km} = \frac{180^\circ}{\pi} \cdot \frac{1}{km} = \frac{^\circ}{km} \right]$

Z_w : Wellenwiderstand

Leitung ohne Verluste

$$R'_b = G'_b = 0 \rightarrow \alpha = 0$$

$$|\beta| = \sqrt{X'_b \cdot B'_b} = \omega \cdot \sqrt{L'_b \cdot C'_b}$$

$$\underline{\gamma} = j\beta = j\sqrt{X'_b \cdot B'_b} = j\omega \cdot \sqrt{L'_b \cdot C'_b}$$

$$\delta = 0 \rightarrow |Z_w| = \sqrt{\frac{X'_b}{B'_b}} = \sqrt{\frac{L'_b}{C'_b}}$$

Richtwerte: $Z_w \approx 400 \Omega \quad \beta = \frac{0,06^\circ}{km}$

B. Ersatzschaltbilder (ESB)

MS-/NS-Leitungen mit Verlusten

$$I_G, I_C, \ll I_L = I_{max} \rightarrow G'_b = B'_b = 0$$

$$\underline{I}_1 = \underline{I}_L = \underline{I}_2 \quad \underline{U}_1 = d\underline{U} + \underline{U}_2$$

$$d\underline{U} = (R_L + jX_L) \cdot \underline{I}_L = (R'_b + jX'_b) \cdot l \cdot \underline{I}_L$$

$$\underline{Z}_L = R_L + jX_L \quad \varphi_Z = \arctan \frac{X_L}{R_L} = \arctan \frac{X'_b}{R'_b}$$

Kurze HS-/HöS-DS-Leitungen

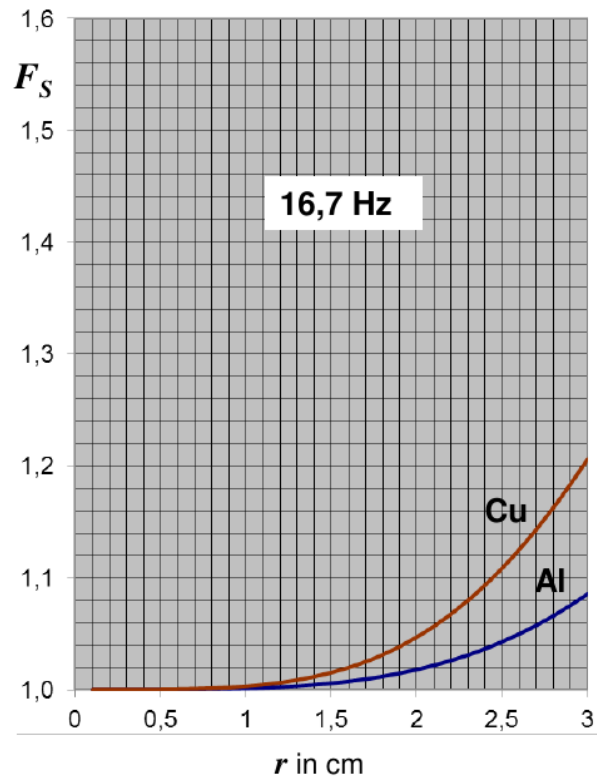
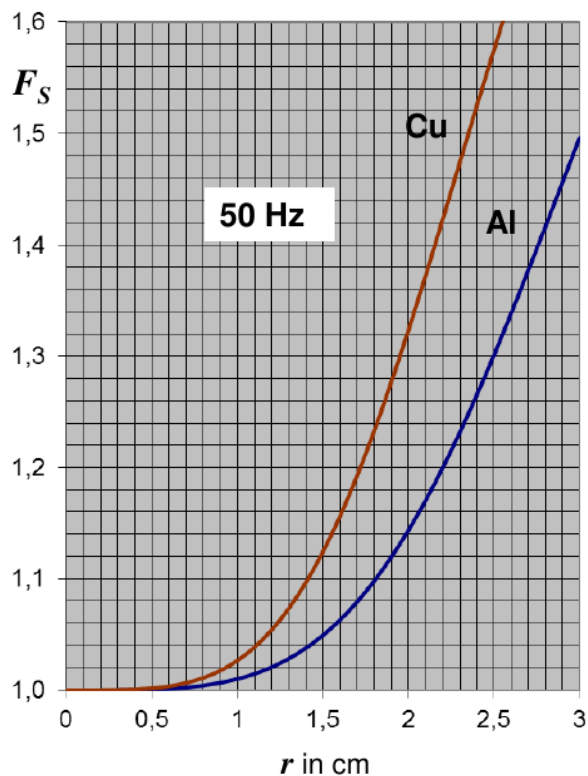
$U_{LL} > 100 \text{ kV}$ bis $l_{max} = 220 \text{ km}$

$B'_b \neq 0 \quad R'_b = G'_b = 0$

VI. TABELLEN, ANHÄNGE

F39 - Gleichstromwiderstand, Seildurchmesser, Sollquerschnitt (Freileitung)

Nennquerschnitt = Bezeichnung A_{Al}/A_{St} [mm ²]	Sollquerschnitt Aluminium [mm ²]	Sollquerschnitt Stahl [mm ²]	Sollquerschnitt gesamt [mm ²]	Seildurchmesser $D = 2 r$ [mm]	Al/St-Seile $R'_{20^\circ C}$ [Ω/km]
16/2,5	15,27	2,54	17,8	5,4	1,874
25/4	23,86	3,98	27,8	6,8	1,203
35/6	34,35	5,73	40,1	8,1	0,835
50/8	48,25	8,04	56,3	9,6	0,595
70/12	69,89	11,40	81,3	11,7	0,413
95/15	94,39	15,33	109,7	13,6	0,306
120/20	121,57	19,85	141,4	15,5	0,237
150/25	148,86	24,25	173,1	17,1	0,194
185/30	183,78	29,85	213,6	19,0	0,157
210/35	209,10	34,09	243,2	20,3	0,138
230/30	230,91	29,85	260,8	21,0	0,125
240/40	243,05	39,49	282,5	21,8	0,119
265/35	263,66	34,09	297,8	22,4	0,109
300/50	304,26	49,48	353,7	24,5	0,095
380/50	381,70	49,48	431,2	27,0	0,076
435/55	434,29	56,30	490,6	28,8	0,067
490/65	490,28	63,55	553,8	30,6	0,059
560/50	561,70	49,48	611,2	32,2	0,051
680/85	678,58	85,95	764,5	36,0	0,043
1045/45	1045,58	45,28	1090,5	43,0	0,028

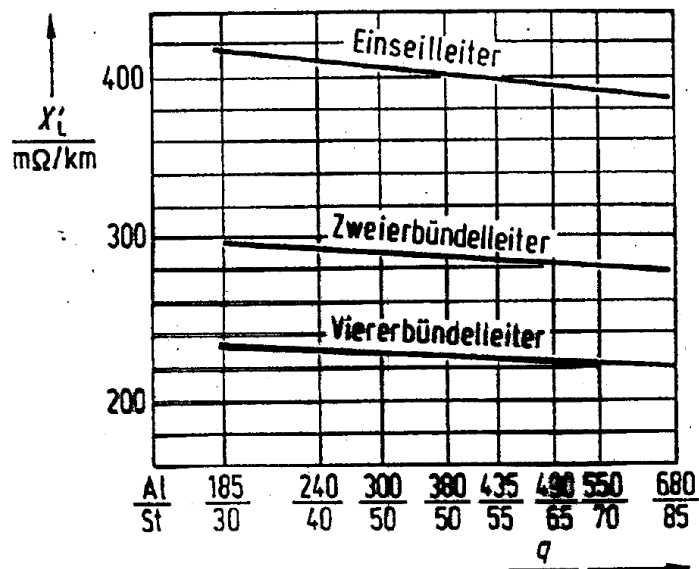
F42 - Widerstandserhöhung durch Skineffekt (Freileitung, Kabel)

F43 - Resistanzbelag, Richtwerte Seilbelegungen (Freileitung)

Leitung [kV]	Seiltyp	$R'_b \left[\frac{\Omega}{km} \right]$
10/20	Einfach	0,3 - 0,6
110	Einfach	0,2 - 0,15
220	Zweierbündel	0,09
380	Viererbündel	0,03

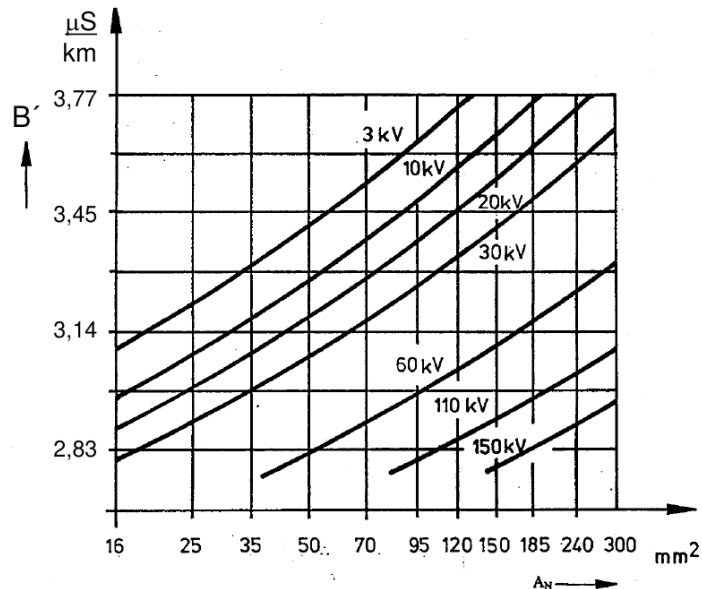
F46 - Reaktanzbelag, Richtwerte Hochspannungsleitungen (Freileitung)

Seiltyp	$X'_b \left[\frac{\Omega}{km} \right]$ je Leiter
Einerseil	0,40
Zweierbündel	0,30
Viererbündel	0,23



F48 - Suszeptanzbelag, Richtwerte Einfachseil bei f=50Hz (Freileitung)

Richtwerte $U_{Betrieb}$	$B'_b \left[\frac{\mu S}{km} \right]$ je Leiter
< 30 kV	3,5
> 30 kV	3



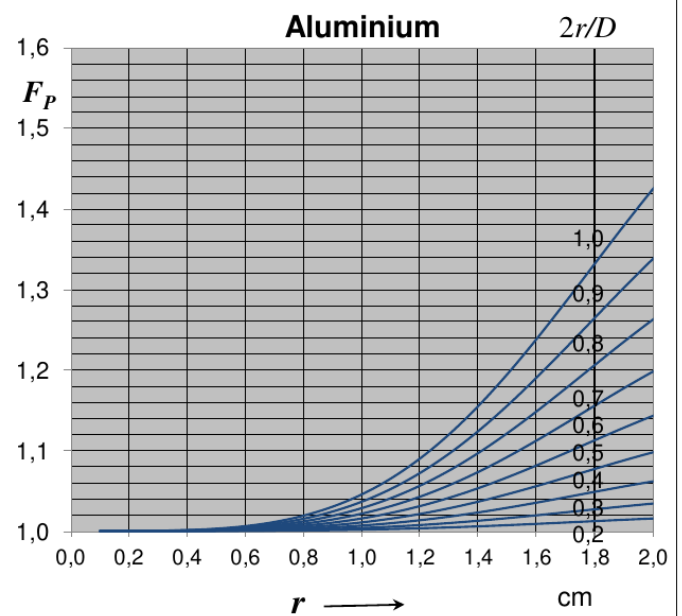
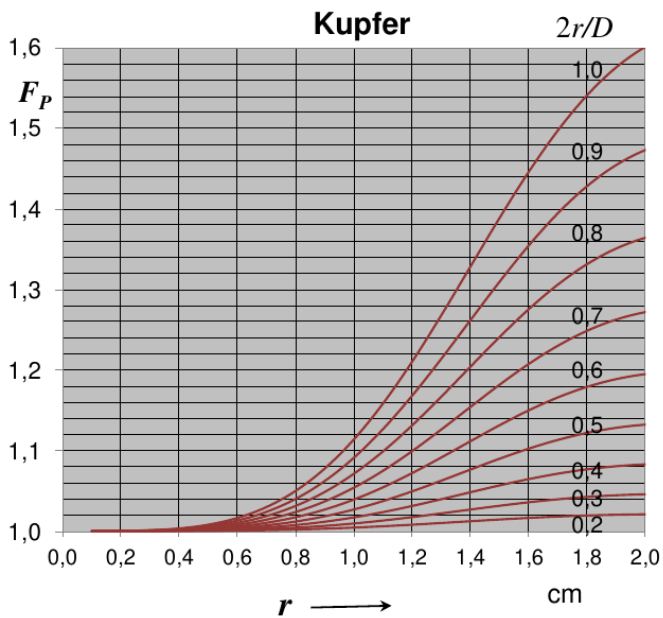
F49 - Konduktanzbelag, Richtwerte (Freileitung)

Richtwerte $U_{Betrieb}$	$G'_b \left[\frac{nS}{km} \right]$ je Leiter
< 30 kV	vernachlässigbar
110 kV	4 - 5
220 kV	2,5 - 3,5
380 kV	1 - 2

- Strom über Isolation (hier Luft) gegen Erde
- Ursachen: Korona- und Isolationsverluste

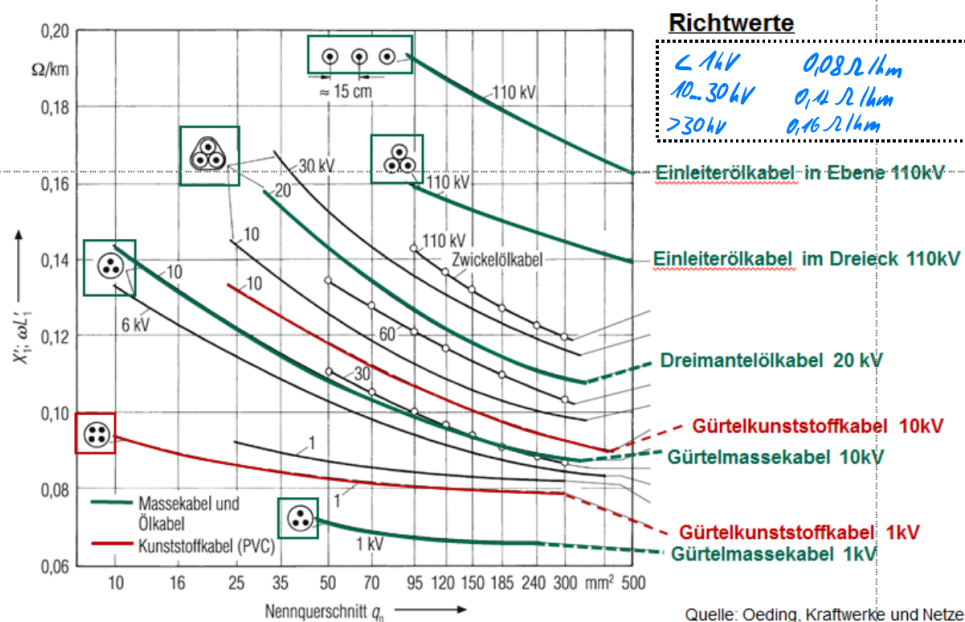
F34 - Resistanzbelag R'_{Ω} in $\frac{\Omega}{\text{km}}$ (Kabel)

Nennquerschnitt [mm ²]	Kupferleiter	Aluminiumleiter
10	1,830	3,080
16	1,150	1,910
25	0,727	1,200
35	0,524	0,886
50	0,387	0,641
70	0,268	0,443
95	0,193	0,320
120	0,153	0,253
150	0,124	0,206
185	0,0991	0,164
240	0,0754	0,125
300	0,0601	0,100
400	0,0470	0,0778
500	0,0366	0,0605
630	0,0283	0,0469
800	0,0221	0,0367
1000	0,0176	0,0291

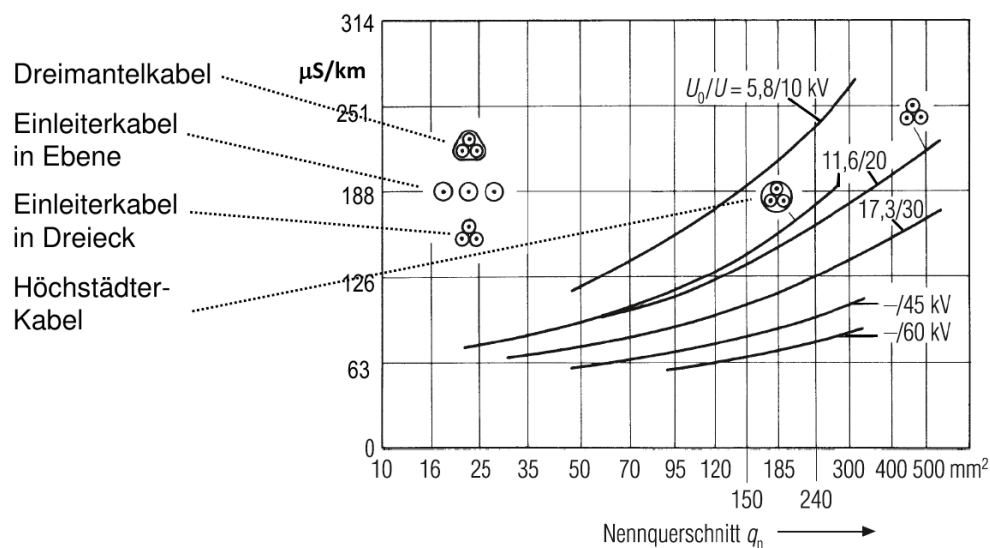
F37 - Widerstandserhöhung durch Proximityeffekt F_P (Kabel)

F42 - Verlustfaktor/ ε -Konstante von Isolierstoffen (Kabel)

Isolierstoff	$\tan \delta \times 10^3$	ε_r	$(\varepsilon_r \tan \delta) \times 10^3$
Masse-Papier	10	4	40
Öl-Papier	1,5 ... 3	3,3 ... 3,7	5 ... 11
PP(LP)	0,5 ... 0,6	2,6	1,3 ... 1,6
PVC	20 ... 100	3 ... 4	60 ... 400
PE	0,2 ... 0,4	2,2 ... 2,3	0,4 ... 0,9
VPE	0,3 ... 0,4	2,3 ... 2,4	0,7 ... 1,2
EPR	4 ... 6	2,7 ... 3	11 ... 18

F40 - Reaktanzbelag X'_b , Richtwerte (Kabel)



F43 - Suszeptanzbelag B'_b - Richtwerte Radialfeldkabel mit Masseisolierung $\epsilon_r = 4$



F44 - Suszeptanzbelag B'_b - Richtwerte (Kabel)

